

# Хаотическое блуждание атома в когерентном поле стоячей световой волны

С. В. Пранц, Л. Е. Коньков

Тихоокеанский океанологический институт им. В. И. Ильичева  
Дальневосточного отделения РАН  
690041 Владивосток, Россия

Поступила в редакцию 2 октября 2000 г.

После переработки 26 декабря 2000 г.

Теоретически предсказан и численно обнаружен новый эффект хаотического блуждания центра масс холодного атома в когерентном поле стоячей световой волны в высокочастотном резонаторе Фабри – Перо, возникающий в отсутствие каких-либо случайных флуктуаций, обусловленных спонтанным излучением. Численные эксперименты показывают, что гамилтонов хаос возникает вблизи резонанса в области значений параметров, характерных для режима сильной связи, реализованного недавно в экспериментах. Обнаруженный эффект представляет интерес для исследования квантово-классического соответствия и квантового хаоса в атомной оптике.

PACS: 32.80.Lg, 42.65.Sf

При взаимодействии свободного атома с резонансным электромагнитным полем происходит не только изменение внутренних (электронных) степеней свободы атома, но и одновременное изменение его внешних (трансляционных) степеней свободы. Идеи лазерного воздействия на трансляционные степени свободы [1–4] привели к развитию мощных методов охлаждения и пленения атомов с помощью лазерного света [5–7]. В обычных условиях интенсивность светового поля достаточно велика, и его можно считать неисчерпаемым резервуаром энергии и импульса для атома, существование которого никак не влияет на состояние поля. В высокочастотном микрорезонаторе взаимодействие атома с полем настолько сильное, что между ними становится возможным многократный обмен возбуждением. Режим сильной связи для внутренних ( $\Omega_0 \sqrt{n} > \Gamma_{a,f}^{-1}$ , где  $\Omega_0$  – однофотонная частота Раби,  $n$  – среднее число фотонов в моде,  $\Gamma_{a,f}$  – скорости релаксации атомного диполя и фотонов) и внешних ( $\hbar \Omega_0 \sqrt{n} > m v_a^2$ , где  $v_a$  – скорость атома) степеней свободы атома недавно экспериментально реализован [8, 9].

Фундаментальная модель взаимодействия внутренних и внешних степеней свободы атома в световом поле стоячей волны с гамилтонианом

$$\hat{H} = \frac{\hat{p}^2}{2m} + \frac{1}{2} \hbar \omega_a \hat{\sigma}_z + \hbar \omega_f (\hat{a}^\dagger \hat{a} + \frac{1}{2}) + \hbar \Omega_0 (\hat{a}^\dagger \hat{\sigma}_- + \hat{a} \hat{\sigma}_+) \sin(k \hat{x} + \varphi) \quad (1)$$

описывает в приближении вращающейся волны когерентную динамику двухуровневого атома в иде-

альном одномерном резонаторе типа Фабри-Перо. В настоящем сообщении показано: 1) в рамках фундаментальной модели в отсутствие каких-либо случайных флуктуаций возможен *новый эффект хаотического блуждания* центра масс атома в когерентном потенциальном поле стоячей световой волны; 2) гамилтонов динамический хаос возникает вблизи резонанса в области значений параметров, характерных для режима сильной связи [8, 9]; 3) вследствие этого эффекта частично разрушается регулярная структура потенциальных ям-ловушек для медленных атомов и исчезает регулярная пространственная модуляция осцилляций Раби для быстрых атомов. Подчеркнем, что эффект хаотического блуждания центра масс атома возникает в модели (1) динамического взаимодействия внутренних и внешних степеней свободы атома и полевой степени свободы. До сих пор хаос во взаимодействии элементарных квантовых систем с излучением изучался в моделях, не учитывающих изменения импульса системы в процессе взаимодействия с полем (см. пионерскую статью [10] и другие статьи, например, [11, 12] и цитируемые там работы). В работах [13, 14] динамический хаос был численно обнаружен и исследован в модели параметрического взаимодействия движущихся атомов с полем с учетом пространственной структуры стоячей волны, но опять-таки без учета изменения импульса атома (то есть в приближении Рамана – Ната).

Гамильтониан (1) описывает взаимодействие трех подсистем: трансляционной, характеризуемой операторами координаты  $\hat{x}$  и импульса  $\hat{p}$  атома; элект-

ронной, характеризуемой операторами Паули  $\hat{\sigma}_{\pm} = \frac{1}{2}(\hat{\sigma}_x \pm i\hat{\sigma}_y)$  и  $\hat{\sigma}_z$ , и полевой, характеризуемой операторами уничтожения  $\hat{a}$  и рождения  $\hat{a}^\dagger$  фотона. Полуклассическая когерентная динамика взаимодействия этих подсистем описывается уравнениями Гейзенберга

$$\dot{\xi} = \alpha\rho, \quad \dot{\rho} = -u \sin \xi, \quad \dot{u} = \delta v, \quad (2)$$

$$\dot{v} = -\delta u + 2Nz \cos \xi, \quad \dot{z} = -2v \cos \xi,$$

выведенными из гамильтониана (1) с начальной фазой  $\varphi = -\pi/2$  для следующих безразмерных переменных:

$$\begin{aligned} \xi &= k\langle \hat{x} \rangle, \quad \rho = \frac{1}{\hbar k} \langle \hat{p} \rangle, \\ u &= \langle \hat{a}^\dagger \hat{\sigma}_- + \hat{a} \hat{\sigma}_+ \rangle, \quad v = i \langle \hat{a}^\dagger \hat{\sigma}_- - \hat{a} \hat{\sigma}_+ \rangle, \quad (3) \\ z &= \langle \hat{\sigma}_z \rangle, \end{aligned}$$

которые являются средними значениями соответствующих операторов, взятыми по квантовому состоянию  $|\psi\rangle$  полной системы. В начальный момент времени  $\tau_0 = \Omega_0 t_0$  оно предполагается факторизованным в произведение векторов трансляционного  $|\psi_0\rangle_{tr}$ , электронного  $|\psi_0\rangle_e$  и полевого  $|\psi_0\rangle_f$  состояний. Управляющими параметрами замкнутой системы нелинейных уравнений (2) являются нормированная расстройка резонанса  $\delta = (\omega_f - \omega_a)/\Omega_0$ , нормированная частота отдачи  $\alpha = \hbar k^2/m\Omega_0 \equiv 2\omega_R/\Omega_0$  и число возбуждений  $N = n + \frac{1}{2}(z + 1)$ , которое, как известно, сохраняется в приближении вращающейся волны. Система (2) обеспечивает сохранение полной энергии и энергии электронно-полевого взаимодействия

$$W = \frac{\alpha}{2}\rho^2 - u \cos \xi - \frac{\delta}{2}z, \quad R = u^2 + v^2 + Nz^2. \quad (4)$$

Ее можно интерпретировать, как гамильтонову систему с двумя связанными степенями свободы – трансляционной (переменные  $\xi$  и  $\rho$ ) и электронно-полевой (переменные  $u$  и  $v$ ). В начальный момент времени величины  $u$  и  $v$  являются простыми комбинациями  $u_0 = (e_0 x_0 - p_0 y_0)/2$ ,  $v_0 = (e_0 y_0 + p_0 x_0)/2$  полевых переменных  $e_0 \equiv \langle \hat{a}^\dagger + \hat{a} \rangle_f$ ,  $p_0 \equiv i \langle \hat{a}^\dagger - \hat{a} \rangle_f$  и переменных атомного дипольного момента  $x_0 \equiv \langle \hat{\sigma}_x \rangle_e$ ,  $y_0 \equiv \langle \hat{\sigma}_y \rangle_e$ .

Если частота моды  $\omega_f$  совпадает с частотой атомного перехода  $\omega_a$ , то есть если  $\delta = 0$ , то из третьего уравнения (2) следует наличие дополнительного интеграла движения  $u = u_0$ . В этом случае движение центра масс атома в потенциальном периодическом

поле  $U = -\alpha u_0 \cos \xi$ , созданном стоячей волной, описывается простым уравнением свободного нелинейного осциллятора  $\ddot{\xi} + \alpha u_0 \sin \xi = 0$  и не зависит от изменения внутреннего состояния атома. В зависимости от начальных условий атом либо попадает в плен стоячей волны, и его центр масс совершает периодическое колебательное движение, либо он пересекает стоячую световую волну таким образом, что его импульс периодически промодулирован. Атом пленяется полем, если его начальный импульс удовлетворяет условию  $\rho_0 \leq \rho_{cr} = 2\sqrt{u_0/\alpha}$ . Величины критической скорости атома и нормированной частоты его малых колебаний в потенциальной яме  $\sqrt{\alpha u_0}$  зависят от начальных значений компонент напряженности поля и атомного диполя. Из приведенных соотношений следует, что в случае точного резонанса атом будет двигаться равномерно и прямолинейно, если поле и/или атом вначале приготовлены так, что  $u_0 = 0$ , то есть  $e_0 x_0 = p_0 y_0$ . В частности, полностью инвертированный атом ( $z_0 = 1, x_0 = y_0 = 0$ ) продолжит равномерное прямолинейное движение независимо от того, в каком состоянии  $|\psi_0\rangle_f$  приготовлено поле стоячей волны. То же случится с атомом, влетающим в резонатор, поле в котором находится в фоковском состоянии  $|n\rangle_f$  с определенным числом фотонов, независимо от того, в каком состоянии  $|\psi_0\rangle_e$  он находился вначале. Эти рассуждения справедливы, разумеется, в отсутствие диссипации. Так в рамках приближения сильной связи игнорируется затухание избранной моды и спонтанное излучение в другие моды.

С другой стороны, эволюция внутренней энергии атома и эволюция среднего числа фотонов в моде зависят от трансляционных степеней свободы, так как от местоположения атома в периодическом потенциале стоячей волны зависит сила его связи с полем. Из последних двух уравнений (2) с помощью (4) находится уравнение движения для инверсии населенности

$$\dot{z} = \pm 2\sqrt{R - Nz^2} \cos \xi(\tau), \quad (5)$$

которое легко решается:

$$z(\tau) = \pm \sqrt{\frac{R}{N}} \sin \left( 2\sqrt{N} \int_0^\tau \cos[\xi(\tau)] d\tau + \text{const} \right). \quad (6)$$

Таким образом, внутренняя энергия атома (и среднее число фотонов в моде) испытывает периодически промодулированные осцилляции. В предельном случае большой расстройки,  $\delta \gg \sqrt{N}$ , можно адиабатически исключить инверсию населенности из (2). В результате число степеней свободы системы (2)

эффективно редуцируется до единицы, и она становится интегрируемой с периодическими решениями. Фактически мы имеем дело с двумя связанными осцилляторами, один из которых (электронно-полевой) линейный, причем частота собственных колебаний последнего  $\delta$  гораздо больше частоты малых колебаний трансляционного осциллятора  $\sqrt{\alpha u_0}$ .

В предельных случаях больших и малых расстройек система совершает периодические движения. Простой качественный анализ уравнений движения (2) дает количественный критерий предельных случаев:  $\delta > \max\{1, 2\sqrt{N}, \alpha\rho_0/\sqrt{N}\}$  и  $\delta < \min\{1, 2\sqrt{N}, \alpha\rho_0/\sqrt{N}\}$ . Динамическая сложность во взаимодействии внутренних и внешних степеней свободы двухуровневого атома в поле стоячей световой волны возникает в окрестности резонанса. Прежде чем приступить к численным экспериментам, оценим диапазон значений управляющих параметров нашей системы в режиме сильной связи. В экспериментах [8, 9] атомы попадают в высокодобротный микрорезонатор Фабри – Перо (будучи предварительно охлажденными в магнитооптической ловушке до энергии  $E_k$  порядка милликельвин), двигаясь в радиальной плоскости (в которой мода стоячей волны имеет гауссову форму) поперек оси резонатора  $x$  с формой моды  $\cos kx$ . При малых скоростях движения они захватываются гауссовой потенциальной ямой. Осцилляции атома в яме косвенно регистрируются в реальном времени по изменению интенсивности пробного лазерного пучка, направленного вдоль оси  $x$ . Поскольку вероятность перехода между состояниями “одетого атома” под действием лазерной накачки зависит от координаты атома  $\mathbf{r}$ , то интенсивность света, прошедшего сквозь резонатор с атомом, прямо зависит от силы связи атома с полем  $\Omega(\mathbf{r})$ . По регистрируемым осцилляциям интенсивности можно восстановить траекторию атома в радиальной плоскости.

Авторы [8] работали с атомами цезия с массой  $m_a \simeq 10^{-22}$  г, кинетической энергией  $E_k \simeq 0.46$  мК, частотой рабочего перехода  $\omega_a \simeq 2\pi \cdot 3.5 \cdot 10^8$  МГц, отстройкой от резонанса  $|\omega_f - \omega_a| \simeq 2\pi \cdot 50$  МГц, скоростью распада  $\Gamma_a \simeq 2\pi \cdot 2.6$  МГц, который помещался в резонатор Фабри – Перо с длиной 10.9 мкм, добротностью  $Q \simeq 4.8 \cdot 10^5$ , скоростью затухания поля  $\Gamma_f \simeq 2\pi \cdot 14.2$  МГц и глубиной потенциальной ямы стоячей волны  $\simeq 2.3$  мК. Поскольку величина однофотонной частоты Раби в пучности стоячей волны  $\Omega_0 \simeq 2\pi \cdot 110$  МГц больше  $\Gamma_{a,f}$ , а  $\hbar\Omega_0 \simeq 5.3$  мК больше  $E_k$ , то условия сильной связи выполняются и для внутренних и для внешних степеней свободы атома. На основе этих величин вычисляются безразмерные

управляющие параметры нашей системы (2) – частота отдачи  $\alpha \simeq 4 \cdot 10^{-6}$  и расстройка  $|\delta| \simeq 0.4$ . Параметры эксперимента [9] с атомом  $^{85}\text{Rb}$  дают значения  $\alpha \simeq 4.4 \cdot 10^{-4}$  и  $|\delta| \simeq 1$ , а для легкого атома He получим  $\alpha \simeq 10^{-3}$  и  $|\delta| \simeq 0.5$ . В полуклассическом приближении атом является материальной точкой с координатой  $\langle \hat{x} \rangle$  и импульсом  $\langle \hat{p} \rangle$ , движущейся под действием силы  $-\hbar k \Omega_0 \langle \hat{u} \cos k\hat{x} \rangle$ . Это приближение допустимо, если энергия отдачи  $\hbar\omega_R$  гораздо меньше других характерных энергий, кинетической  $mv_a^2/2$  и электронно-полевой  $\hbar\Omega_0$ . Отсюда следует критерий справедливости полуклассического приближения,  $\alpha \ll 1$  и  $v_R = \hbar k/m \ll v_a$ .

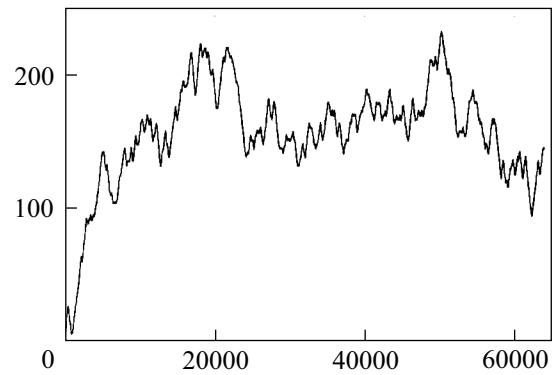


Рис.1. Типичная хаотическая траектория атома в когерентном поле стоячей световой волны

Если в начальный момент времени атом полностью инвертирован ( $z_0 = 1$ ), то  $u_0 = v_0 = 0$  независимо от типа квантового состояния поля в резонаторе. В пределе точного резонанса ( $\delta = 0$ ) такой атом пе-

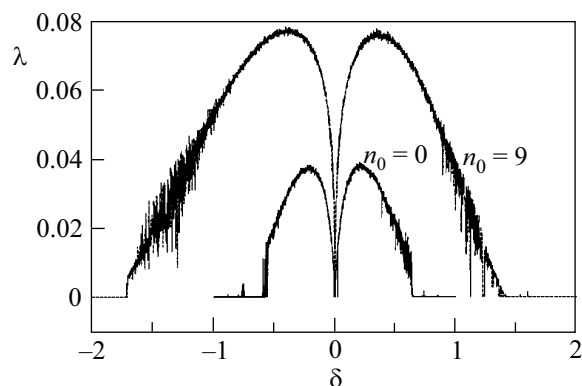


Рис.2. Зависимость максимального показателя Ляпунова  $\lambda$  в единицах обратного безразмерного времени от нормированной расстройки резонанса  $\delta$  для двух значений среднего начального числа фотонов  $n_0$  в моде

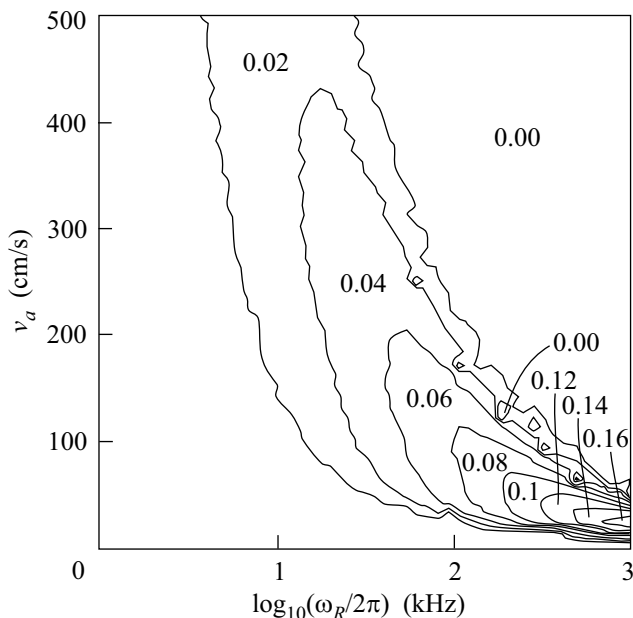


Рис.3. Топографическая карта значений  $\lambda$  в зависимости от начальной скорости атома  $v_a$  (см/с) и частоты отдачи  $\omega_R/2\pi$  (кГц)

ресечет стоячую световую волну, не испытывая никакого влияния поля. Картина кардинально меняется для атома, немного отстроенного по частоте как в красную ( $\delta < 0$ ), так и в голубую ( $\delta > 0$ ) области. На рис.1 изображена типичная траектория движения атома He в поле стоячей волны с начальным средним числом фотонов  $n_0 = 9$ , с начальным импульсом  $\rho_0 = 50$  при  $\delta = 0.5$ . Атом блуждает по резонатору, осциллируя в ямах и случайно перескакивая из одной в другую. То, что это движение хаотическое в смысле экспоненциальной чувствительности к изменению начальных условий, доказано в результате вычислений максимального показателя Ляпунова  $\lambda$  системы (2) в единицах обратного безразмерного времени. На рис.2 изображена зависимость  $\lambda$  от величины расстройки  $\delta$  при различных начальных значениях  $n_0$ . Как и следовало ожидать, хаос исчезает ( $\lambda = 0$ ) вблизи резонанса и вдали от него. Отметим, что при  $\delta \neq 0$  атом может хаотически двигаться, даже если поле в резонаторе в начальный момент времени находилось в вакуумном состоянии. На рис.3 приведена так называемая топографическая  $\lambda$ -карта [13, 14] в координатах  $v_a - \omega_R/2\pi$  при фиксированных значениях  $\delta = 0.5$  и  $N = 10$ , на которой оттенками цвета выведены области значений  $\lambda$  для начальных скоростей  $v_a$  атома в диапазоне 1–500 см/с и частоты отдачи  $\omega_R/2\pi$  в диапазоне 1–1000 кГц. С помощью этой карты находятся значения этих величин (и следова-

тельно, определяется тип атома), для которых можно ожидать хаотическое или регулярное движение атома в резонаторе.

Итак, мы теоретически предсказали и численно обнаружили эффект хаотического блуждания атома в высокочастотном резонаторе Фабри – Перо в области значений параметров, характерных для режима сильной связи. Полуклассический гамильтонов хаос возникает в результате когерентного обмена энергией между трансляционными и электронно-полевыми степенями свободы нелинейной системы “атом + поле + резонатор” в отсутствие каких-либо случайных флуктуаций, обусловленных спонтанным излучением или другими факторами, нарушающими когерентность. Реализация режима сильной связи для одиночных атомов и фотонов в экспериментах [8, 9] позволяет надеяться на перспективность специальных экспериментов по изучению квантово-классического соответствия и квантового хаоса в атомной оптике. Особенно интересным представляется исследование особенностей квантовой динамики атомного волнового пакета в квантованном поле и, в частности, эффекта динамической локализации в той области параметров, где нами обнаружен полуклассический хаос.

В заключение заметим, что в настоящей работе изучалась гамильтонова динамика атома в пространственно периодическом оптическом потенциале, которую можно считать адекватной в режиме очень сильной связи ( $\Omega_0 \sqrt{n} \gg \Gamma_{a,f}$ ). Быстрое совершенствование экспериментальной техники позволяет надеяться на реализацию этого режима в скором времени для одиночных атомов и фотонов в оптическом диапазоне. Учет диссипации и спонтанного излучения возможен в рамках полуклассического подхода и, по-видимому, может привести к возникновению диссипативного хаоса, заслуживающего специального изучения.

Настоящая работа была поддержана Российским фондом фундаментальных исследований (грант # 02-17269).

1. Г. А. Аскарьян, ЖЭТФ **42**, 1567 (1962).
2. В. С. Летохов, Письма в ЖЭТФ **7**, 348 (1968).
3. A. Ashkin, Phys. Rev. Lett. **25**, 1081 (1970).
4. T. W. Hansch and A. L. Shawlow, Opt. Comm. **13**, 68 (1975).
5. S. Chu, Rev. Mod. Phys. **70**, 685 (1998).
6. C. Cohen-Tannoudji, Rev. Mod. Phys. **70**, 707 (1998).
7. W. D. Phillips, Rev. Mod. Phys. **70**, 721 (1998).
8. J. Yen and H. J. Kimble, Phys. Rev. Lett. **83**, 4987 (1999).

9. P. Münstermann, T. Fischer, P. Maunz et al., *Phys. Rev. Lett.* **82**, 3791 (1999).
10. П. И. Белобров, Г. М. Заславский, Г. Х. Таргаковский, *ЖЭТФ* **71**, 1799 (1976).
11. J. R. Ackerhalt, P. W. Milonni, and M. L. Shih, *Phys. Rep.* **128**, 205 (1985).
12. A. R. Kolovsky, S. Miyazaki, and R. Graham, *Phys. Rev.* **E50**, 70 (1994).
13. S. V. Prants and L. E. Kon'kov, *Phys. Lett.* **A225**, 33 (1997).
14. S. V. Prants and L. E. Kon'kov, *Phys. Rev.* **E61**, 3632 (2000).